

京都大学防災研究所 正員 石垣泰輔
 京都大学防災研究所 正員 今本博健
 京都大学大学院 学生員 木下聖司

一様開水路における流れの3次元性は、乱れの発生機構に関連してバースティング現象により誘起され、縦渦に起因するものと、Nikuradse¹⁾をはじめ多くの研究者、実験より知られており、隅角部に生じる縦渦が起因するものがあるが、これら縦渦の形成機構および相互干渉についてはいずれも不明な点が多く残されている。本報告は、これら2種の縦渦が強く干渉し合うと考えられる水路幅・水深比の小さな水路を対象とし、縦渦のスケール、安定性、配列等について実験的検討を行ったものであって、水素気泡法を用いて壁面せん断力分布の計測、カーメロン撮影による路床近傍の縦筋の可視化およびレーザー・ドップラー流速計を用いた速度ベクトルの計測²⁾を行った。なお、水理条件は表-1に示すようである。

1. 壁面せん断力分布特性：縦渦の存在は、等速度線の歪みあるいは壁面せん断力分布の非一様性より類推されるが、時間的にも空間的にも変動するため瞬間的に流れの挙動を把握する必要がある。そこで、本報告では、リニア底層内の瞬間速度分布を水素気泡法により計測し、その結果より壁面せん断力分布をえる方法を用いた。写真-1は、

表-1 水理条件表

Case	Ie	Q (l/s)	B (cm)	H (cm)	T (°C)	Re	Fr
1	1/2089	0.058	2.08	2.01	17.30	884	0.54
2	1/1244	0.100	3.07	1.96	17.30	1331	0.57
3	1/1431	0.124	4.06	2.01	17.22	1425	0.48
4	1/1923	0.132	5.05	1.99	16.95	1347	0.47
5	1/1575	0.130	6.03	2.00	16.20	1172	0.31
6	1/3871	1.337	15.0	4.86	14.61	4690	0.34
7	1/1304	1.606	15.0	5.00	14.41	5280	0.40

水路幅・水深比B/H=3の場合におけるタイムラインの撮影例を示す。これより、側壁、路床のいずれにおいても高速部と低速部が交互に配列されており、側壁のパターンは水路幅・水深比によらずほぼ同様であるが、路床では水路幅・水深比の増加に伴って高速部、低速部の個数が増加する³⁾。図-1は、撮影されたタイムライン間隔より得られた壁面せん断力の平均値(実線)とその変動成分(破線)を示したものであって、速度の鉛直分布を直線的に仮定している。なお、ておよびでは平均壁面せん断力 τ_w (=ρgR_e)、ρ:密度、g:重力加速度、R:経深、I_e:エネルギー勾配)を無次元化している。図より、ておよびでは波状分布を示しており、ては τ_w の0.8~1.5倍程度、ては τ_w の0.5倍程度である。

て分布の極小部および極大部が、それと並んで壁面から離れる流れおよび壁面に向う流れの存在位置に相当することと、隅角凹部には一般に凹部に向う流れが存在することを考慮すれば、図中に矢印で示したように流体の動きが確定される。隅角部での推定結果はNikuradse¹⁾による推定結果とはほぼ一致している。

2. 縦渦配列検討：路床におけるて分布の極小部は縦渦の上界部に相当するため、その発生個数より縦渦の配列が類推される。図-2は、各水路幅・水深比ごとに撮影された写真を発生個数で分類し、その度数を示したものである。図より、B/H=1と3の場合には発生個数が一定値、1および4を見せるが、他のCaseでは発生個数がかなり変化している。これより、B/H=1および3の

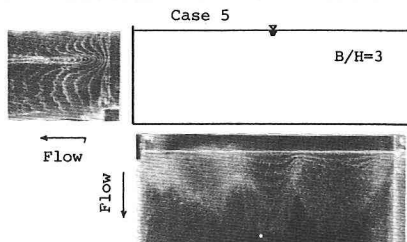
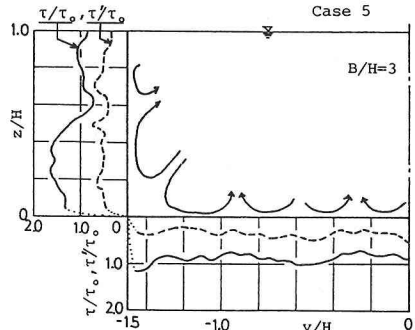


写真-1 タイムラインの撮影例

図-1 壁面せん断力および変動成分 τ' の分布

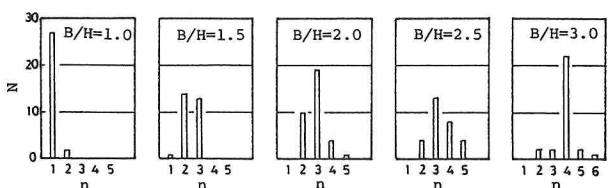


図-2 縦槽の上界部の発生個数(ル)の頻度分布(N)

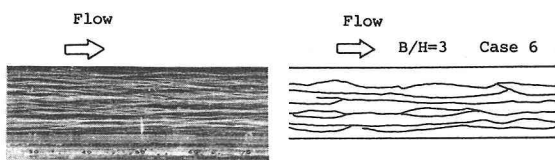


図-4 路床近傍の縦筋のカメラ撮影結果

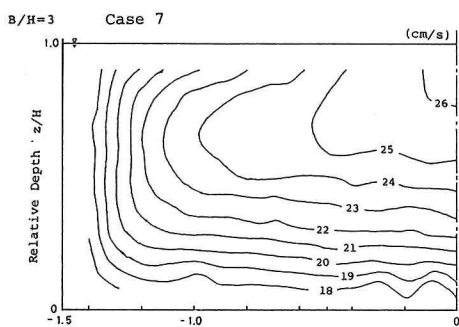


図-5 等速度線図

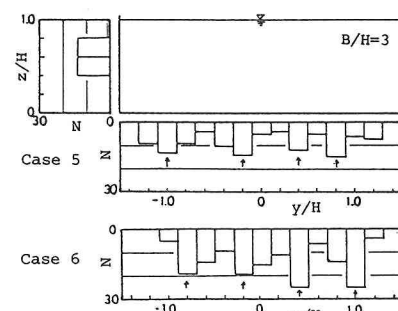


図-3 縦槽の上界部の発生位置の頻度分布
(Case 5)および縦筋の発生位置の頻度分布(Case 6)

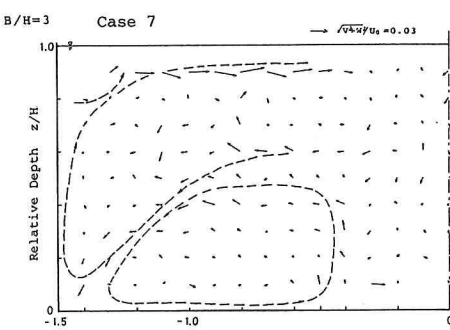


図-6 速度ベクトル図

Case 6では、縦の発生・消滅が生じ、縦は不安定であると推定される。

つぎに、縦槽が安定して存在する $B/H = 3$ の場合について検討する。縦槽の上界部の発生位置の頻度分布を示すと図-3のようになる。隅角部の側壁では相対水深 $z/H = 0.6$ 桁度、路床では隅角部より $0.5 \sim 0.6 H$ 桁度の位置に縦槽の上界部が存在する。一方、水路中央部でも発生位置が比較的安定しており、その間隔は水深の 0.6 倍程度である。広幅水路で見られる縦槽のスケールに比べてやや小さく、そのためになっている。

以上の結果は、水路幅 $2 \sim 6$ m、長さ 2 m の小型水路を用いてしたものである。そこで、実験結果の妥当性を確認するため、表-1に示す Case 6, 7 の実験を、水路幅 40 cm、長さ 8 m および 13 m の水路で行った。図-4は、平均粒径 0.011 cm、比重 1.45 の塩化ビニル粒子をトレーサーに用い、カメラ撮影により路床の縦筋を撮影した写真と、縦筋を实体視して図化した結果である。図より、縦筋は流下方向に連なり左右にゆらいでいる。また、縦筋の分岐・合体が見られる。これより、縦槽の発生位置の頻度分布を整理したもののが図-3の下段 (Case 6) である。高頻度を示す位置・個数・間隔等は分布との結果とほぼ同様であり、前述の結果の妥当性が知られる。

図-5は、レーザー・ドップラー流速計を用い、 5 mm 間隔の格子点上での速度の 3 成分 u 、 v 、 w の計測結果より、主流方向平均速度 u の等速度線を示したものである。また、図-6は速度の横断方向成分 v より鉛直方向成分 w より得られる速度ベクトルを図示したものである。これらの図より、自由表面付近での側壁より水路中央へ向う流れ、隅角凹部へ向う流れ等の卓越した流れが認められ、図-6に破線で示すように縦槽の存在が確定される。しかししながら、図-1の結果と比較すると、側壁の自由水面近傍の縦は認められず、隅角部路床側の縦のスケールも異なっている。これは、計測の時間スケールあるいは縦槽の強さの違い等の影響によるものと考えられる。今後は、レイノルズ数および水路幅・水深比の大きさによる検討を行う予定である。

参考文献 1) Nikuradse, J.: Untersuchungen über turbulente Strömungen in nicht kreisförmigen Rohren, Ingenier-Archiv, Vol. 1, 1930.

2) 今本,石垣木:可視化法による雨水流の路面せき止め構造の検討,関西支所,1983. 3) 今本,石垣吉村:雨水流の路面せき止め構造に対する路面形状効率=71.1%,関西支所,1983.